



Universidad Nacional Autónoma
de México

Facultad de Ciencias

Título

T E S I S

QUE PARA OBTENER EL TÍTULO DE:
Licenciado en Ciencias de la Computación

PRESENTA:
uriel ochoa

TUTOR
adri

Ciudad Universitaria, CDMX, 2021



2 **Hoja de datos del jurado**

3 1. Datos del alumno

4 Ochoa

5 Gonzalez

6 Uriel

7 null@ciencias.unam.mx

8 Universidad Nacional Autonoma de Mexico

9 Facultad de Ciencias

10 Ciencias de la Computación

11 411

12 2. Datos del tutor

13 Dra.

14 Adriana

15

Kira

16

— Blumi

¹⁷ **Agradecimientos**

18 Índice general

19	Lista de figuras	VII
20	Lista de tablas	VIII
21	Lista de definiciones	IX
22	1 Introduccion	1
23	2 Conceptos Fundamentales	2
24	2.1 Gráficas	2
25	2.1.1 Árboles	4
26	2.2 Gráficas geométricas	4
27	2.3 Notación asintótica	9
28	3 Renderizado	10
29	Bibliografía	13

Lista de figuras

31	2.1	Una gráfica conexa G	2
32	2.3	Isomorfismo entre G' y H'	3
33	2.4	Una subgráfica de G . No inducida, pues la arista (e, f) no aparece.	3
34	2.5	Una subgráfica inducida de G	4
35	2.6	Gráfica con la cualidad de ser plana, pero no representada en su forma plana. . .	4
36	2.7	Árbol generador.	5
37	2.8	Gráfica de plano.	5
38	2.9	Gráfica ortogonal.	6
39	2.10	Mallas.	6
40	2.11	Encajamiento en la malla.	7
41	2.12	Dobleces.	7
42	2.13	Modelo en línea recta	8
43	2.14	Un sl-modelo.	8
44	3.1	Mismo árbol, diferentes dobleces.	10
45	3.2	(a) Un sl-modelo \mathcal{M} de seis árboles representando los órdenes locales alrededor de	
46		los vértices $\{a, b, c, d, e, f\}$. (b) Un renderizado de \mathcal{M} . Observemos que algunos	
47		de los árboles en (a) han sido rotado para alinearse de manera correcta en (b).	
48		En general no es cierto que todas las aristas en el renderizado de un sl-modelo	
49		necesiten ser de la misma longitud.	11
50	3.3	12

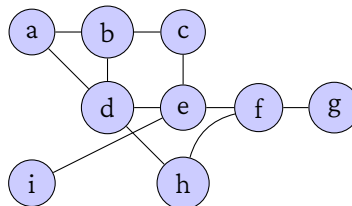
⁵¹ **Lista de tablas**

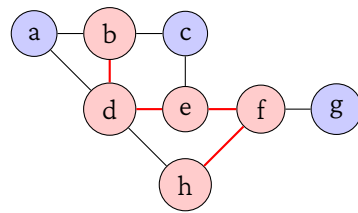
52 Lista de definiciones

53	2.1	Gráfica	2
54	2.2	Adyacencia	2
55	2.3	Distancia entre nodos	2
56	2.4	Recorrido	2
57	2.5	Camino	2
58	2.6	Isomorfismo	2
59	2.7	Subgráfica	3
60	2.8	Subgráfica inducida	3
61	2.9	Gráfica conexa	3
62	2.10	Grado de un vértice	3
63	2.11	Gráfica plana	3
64	2.12	Árbol	4
65	2.13	Árbol generador	4
66	2.14	Gráfica geométrica	4
67	2.15	Gráfica de plano	5
68	2.16	Representación planar	5
69	2.17	Gráfica ortogonal	5
70	2.18	Malla rectilínea	6
71	2.19	Doble	6
72	2.20	Modelo en línea recta	8
73	2.21	Modelo local en línea recta	8
74	2.22	Notación \mathcal{O}	9
75	2.23	Notación Ω	9
76	2.24	Notación Θ	9

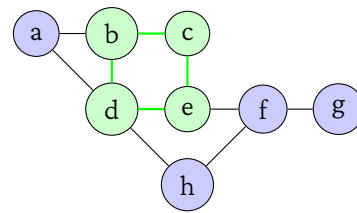
Introduccion

81 2.1 Gráficas

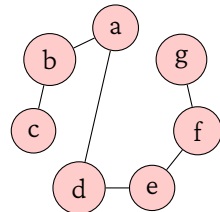
82 Esta sección y la siguiente (2.1.1) fueron basadas en *Discrete Mathematics: An Open Introduction*[3]83 **Definición 2.1**84 Una **gráfica** es un par ordenado $G = (V, E)$ que consiste de un conjunto no vacío V (llamado
85 vértices) y un conjunto E (llamado aristas) formado por duplas de elementos de V .2.7a \dashv 86 **Definición 2.2**87 La **adyacencia** se define de forma distinta para vértices que para aristas. Dos vértices son adyacentes
88 si están conectados por una arista. Dos aristas son adyacentes si comparten un vértice. \dashv 89 **Definición 2.3**90 La **distancia entre nodos**, $d(u, v)$ es la cantidad de aristas que es necesario recorrer para llegar del
91 nodo u al nodo v , y $d(u, u) = 0$. \dashv 92 **Definición 2.4**93 Un **recorrido** es una secuencia de vértices tal que, vértices consecutivos en dicha secuencia son
94 adyacentes en la gráfica. \dashv 95 **Definición 2.5**96 Un **camino** es un recorrido que no repite vértices (o aristas) excepto, tal vez, el primero y el último. Si
97 un camino empieza y termina en el mismo vértice, se llama **ciclo**. \dashv 98 Cuando dos gráficas son básicamente la misma, pero no necesariamente iguales, son llamadas
99 *isomorfas*. La definición de isomorfismo es como sigue:100 **Definición 2.6**101 Un **isomorfismo** entre dos gráficas G_1 y G_2 es una biyección $f : V_1 \rightarrow V_2$ entre los vértices de las
102 gráficas tal que $\{a, b\}$ es una arista en G_1 si, y solo si, $\{f(a), f(b)\}$ es una arista en G_2 . \dashv Figura 2.1 – Una gráfica conexa G .



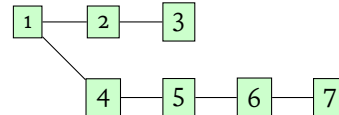
(a) Un camino (en rojo) en G .



(b) Un ciclo (en verde) en G .



(a) Gráfica G' .



(b) Gráfica H' .

Figura 2.3 – Isomorfismo entre G' y H' .

103 Dos gráficas son isomorfas si existe un isomorfismo entre ellas. En ese caso escribimos $G_1 \cong G_2$

104 **Definición 2.7**

105 Decimos que $G' = (V', E')$ es una **subgráfica** de $G = (V, E)$, y escribimos $G' \subseteq G$, si se cumple
106 que $V' \subseteq V$ y que $E' \subseteq E$. \dashv

107 **Definición 2.8**

108 Decimos que $G' = (V', E')$ es una **subgráfica inducida** de $G = (V, E)$ si se cumple que $V' \subseteq V$ y
109 que cada arista en E cuyos vértices siguen estando en V' también es una arista en E' . \dashv

110 **Definición 2.9**

111 Una gráfica es **conexa** cuando podemos llegar de cualquier vértice a cualquier otro vértice siguiendo
112 algún camino de aristas. \dashv

113 **Definición 2.10**

114 Al número de aristas que emanan de un vértice dado le llamamos el **grado** de ese vértice. El máximo
115 (o el mínimo) grado de una gráfica hace referencia al máximo (o el mínimo) grado de sus vértices. \dashv

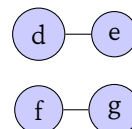


Figura 2.4 – Una subgráfica de G . No inducida, pues la arista (e, f) no aparece.

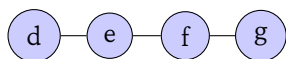


Figura 2.5 – Una subgráfica inducida de G .

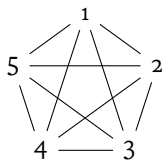


Figura 2.6 – Gráfica con la cualidad de ser plana, pero no representada en su forma plana.

Definición 2.11

Cuando una gráfica *puede* ser dibujada en el plano sin que ninguna de sus aristas se crucen, se dice que es **plana**. \dashv

2.1.1 Árboles

Definición 2.12

Un **árbol** es una gráfica *conexa* y que no contiene *ciclos*. \dashv

Cuando designamos un nodo como *raíz*, todos los demás vértices en el árbol pueden ser identificados por su posición relativa a la raíz. Esto es debido a que existe un único camino entre cualesquiera dos vértices en un árbol.

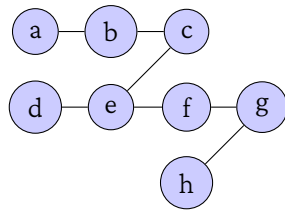
Si dos vértices son adyacentes, decimos que uno de ellos es el **padre** del otro, el cual es llamado **hijo**. De los dos, el padre es el que se encuentra más cerca de la raíz. Por lo tanto la raíz del árbol es un padre pero no es el hijo de ningún vértice.

Así mismo, el hijo de el hijo de un vértice es el **nieto** de ese vértice (convirtiéndose en **abuelo**). Generalizando, decimos que un vértice v es **descendiente** de un vértice u si u es un vértice en el camino de v a la raíz. Entonces, llamaremos a u , un **ancestro** de v .

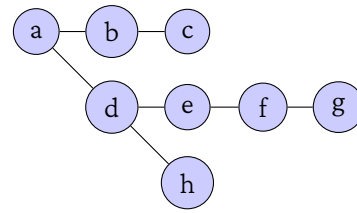
El propósito de este lenguaje es ayudarnos a recorrer el árbol. Recorrer el árbol, visitando cada nodo en algún orden, es un paso esencial en muchos algoritmos. Cuando visitamos primero todos los vértices de una misma generación antes de visitar la siguiente, decimos que hacemos una **búsqueda a lo ancho** (en inglés BFS o *Breadth First Search*). Por otro lado, cuando primero viajamos a lo más alejado posible de la raíz, y luego retrocedemos hasta una disyunción y poder viajar hacia adelante otra vez, le llamamos **búsqueda en profundidad** (en inglés DFS o *Depth First Search*). Decimos “búsqueda” porque la mayoría de las veces recorremos el árbol tratando de encontrar vértices con cierta propiedad.

Definición 2.13

Dada una gráfica conexa G , un **árbol generador** de G es una subgráfica de G que es un árbol y que contiene todos los vértices de G . Todas las gráficas conexas tienen árbol generador. \dashv



(a) Un árbol generador de G .



(b) Otro árbol generador de G .

Figura 2.7 – Árbol generador.

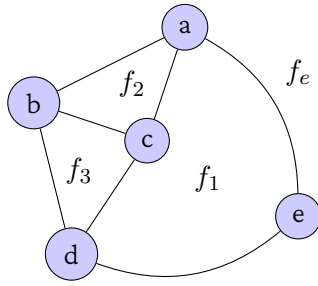


Figura 2.8 – Gráfica de plano.

2.2 Gráficas geométricas

Definición 2.14

Una gráfica es **geométrica** cuando es dibujada en el plano (no necesariamente es plana) utilizando segmentos (parte de una línea, definido por dos puntos), y ninguna terna de vértices yacen sobre la misma línea recta, es decir que no son *colineales*. [5] \dashv

Aunque la definición de gráfica plana es muy similar, vale la pena denotar las diferencias: la planaridad es la cualidad de una gráfica de *poder* ser dibujada sin que sus aristas se crucen, mientras que una gráfica geométrica necesariamente está representada en el plano.

Las siguientes definiciones fueron basadas en “On embedding a graph in the grid with the minimum number of bends” [6], excepto donde se indique lo contrario.

Definición 2.15

Una **gráfica de plano**, $G = (V, E)$ es una gráfica geométrica como la definida anteriormente salvo dos diferencias; el conjunto de aristas E es un conjunto de curvas simples que conectan dos vértices en V y, las curvas simples de E no se cruzan entre ellas, excepto, posiblemente, en los extremos. Una gráfica de plano divide al conjunto de puntos en el plano que no pertenecen a las aristas en regiones conectadas topológicamente, llamadas *caras*. La región no acotada es llamada *cara externa*. Una gráfica es planar si es isomorfa a alguna gráfica de plano. \dashv

Definición 2.16

Le llamaremos **representación planar** al conjunto de listas ordenadas de aristas $P(f)$, una por cada

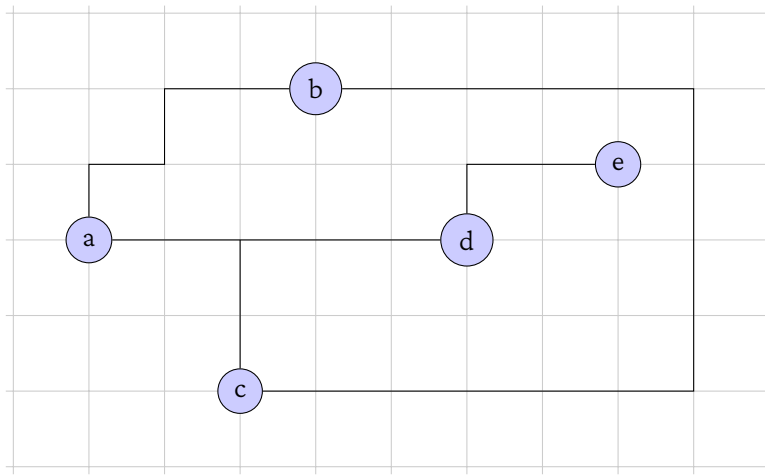
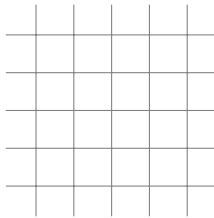
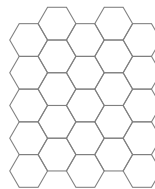


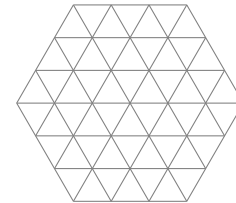
Figura 2.9 – Gráfica ortogonal.



(a) Rectilínea.



(b) Hexagonal.



(c) Triangular.

Figura 2.10 – Mallas.

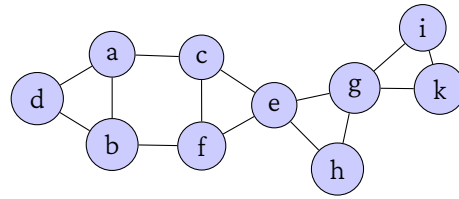
160 cara f , que describen la estructura topológica de la gráfica al listar las aristas que aparecen en el
 161 contorno de cada cara, y especificando la cara externa. \dashv

162 **Definición 2.17**

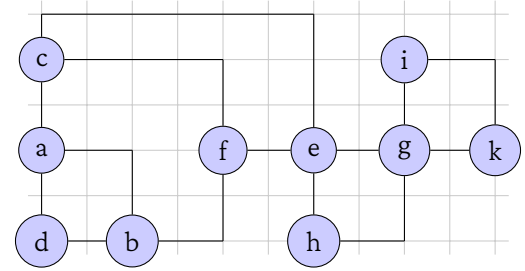
163 Una **gráfica ortogonal** es una gráfica de plano cuyas aristas son secuencias alternantes de segmentos
 164 horizontales y verticales. La *representación ortogonal* describe la forma de una gráfica ortogonal, sin
 165 considerar la longitud de los segmentos. \dashv

166 **Definición 2.18**

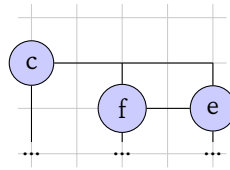
167 La **mallá rectilínea** o **mallá ortogonal** es la gráfica planar infinita cuyos vértices (o puntos) tienen
 168 coordenadas enteras, y cuyas aristas ligan a cada par de vértices que se encuentran a distancia
 169 unitaria. Un **encajamiento planar** en la mallá $M = (V_M, E_M)$, de una gráfica $G = (V, M)$ es
 170 una correspondencia $Q : G \mapsto M$ que cumple que: (1) Q mapea cada vértice en G a una posición
 171 distinta de la mallá; (2) Q mapea cada arista e de G a un camino en la mallá $Q(e)$ cuyos extremos
 172 son mapeos de vértices ligados por e ; (3) Los caminos $Q(e')$ y $Q(e'')$ correspondientes a cada par de
 173 aristas $\{e', e''\}$ de G , no tienen puntos en común, excepto, tal vez, los extremos. \dashv



(a) G .

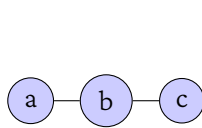


(b) $Q(G)$.

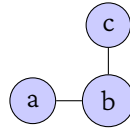


(c) Este mapeo no cumple la tercera condición.

Figura 2.11 – Encajamiento en la malla.



(a) No hay doblez entre a y c .



(b) Sí hay doblez entre a y c .

Figura 2.12 – Dobleza.

La gráfica planar $Q(G)$ definida por el encajamiento (o incrustamiento) Q es isomorfa a G . Una gráfica admite ser incrustada en la malla si, y solo si, es planar y sus vértices tienen un grado máximo menor o igual 4. Para acortar, nos referiremos a estas graficas como *4-planares*.

Definición 2.19

Contamos un *dobleza*[2] por cada par de aristas consecutivas en una gráfica ortogonal que no yacen sobre la misma línea.

Definición 2.20

Un **modelo en línea recta**[2], o **s-modelo**,¹ se refiere a la gráfica ortogonal que resulta del encajamiento planar de un árbol en la malla. Como podemos ver en las figuras correspondientes, un árbol puede ser encajado sin dobleces en las aristas que no incluyen otro nodo del árbol, es decir que todas las aristas se mapean a caminos rectos.

Definición 2.21

Un **modelo local en línea recta**[4] de un árbol T consta de T , junto con una colección de *ordenamientos locales* $\{l_v\}_{v \in V}$, donde $\{l_v\}$ indica los ángulos entre las aristas incidentes a v , sin importar rotaciones. Para nuestro caso ortogonal, todos los ángulos descritos por $\{l_v\}$ son multiplos de $\pi/2$.

¹Del inglés: *straight model*, cuya traducción propiamente sería modelo-rl

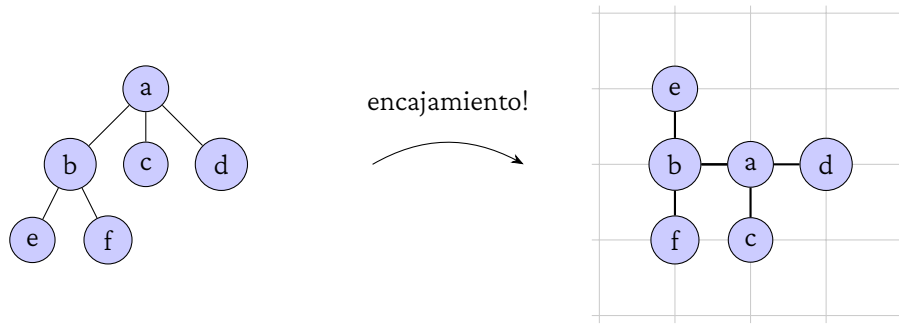
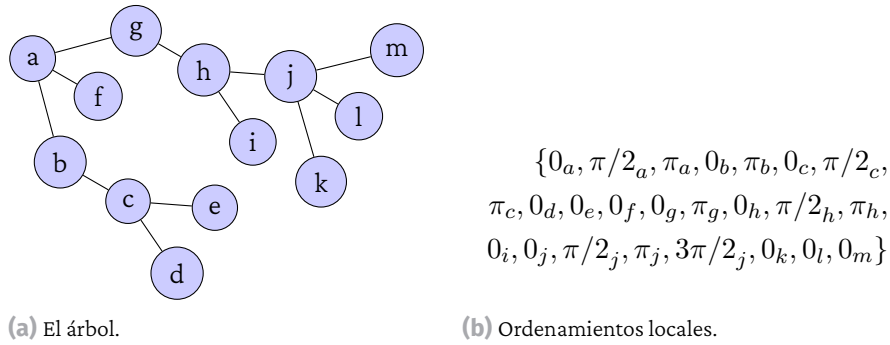


Figura 2.13 – Modelo en línea recta



(a) El árbol.

(b) Ordenamientos locales.

Figura 2.14 – Un sl-modelo.

2.3 Notación asintótica

189

190 Definiciones tomadas de *Introduction to Algorithms*[1].

191 En algoritmos, al analizar tamaños de entrada suficientemente grandes como para hacer relevante
192 únicamente el crecimiento del tiempo de ejecución, decimos que estamos estudiando la eficiencia
193 **asintótica** del algoritmo. Es decir, nos interesa cómo crece el tiempo de ejecución de un algoritmo
194 cuando el tamaño de la entrada está en el límite, creciendo sin restricción.

Definición 2.22

195 Cuando solamente tenemos el **límite asintótico superior**, utilizamos notación de \mathcal{O} . Dada una
196 función $g(n)$, denotamos $\mathcal{O}(g(n))$ (pronunciada “o grande de g de n” o, algunas veces, solo “o de g
197 de n”) al conjunto de funciones
198

$$\mathcal{O}(g(n)) = \{f(n) : \text{existen dos constantes positivas } c \text{ y } n_0 \\ \text{tal que } 0 \leq f(n) \leq cg(n) \text{ para toda } n \geq n_0\}$$

199

⊢

200 Usamos la notación \mathcal{O} para dar una cota superior de una función, dentro de un factor constante.

201 **Definición 2.23**

202 Así como la notación de \mathcal{O} nos provee de un límite asintótico *por arriba* o *superior*, Ω nos indica el **límite**
203 **asintótico inferior**. Dada una función $g(n)$, denotamos $\Omega(g(n))$ (pronunciada “omega grande de g
204 de n” o, algunas veces, solo “omega de g de n”) al conjunto de funciones

$$\Omega(g(n)) = \{f(n) : \text{existen dos constantes positivas } c \text{ y } n_0 \\ \text{tal que } 0 \leq cg(n) \leq f(n) \text{ para toda } n \geq n_0\}$$

205

└

206 **Definición 2.24**

207 Por último, cuando tenemos “ensandwichada” la función, decimos que tenemos un **límite asintótico**
208 **justo** señalada por Θ . Dada una función $g(n)$, denotamos $\Theta(g(n))$ (pronunciada “theta grande de g
209 de n” o, algunas veces, solo “theta de g de n”) al conjunto de funciones

$$\Theta(g(n)) = \{f(n) : \text{existen tres constantes positivas } c_1, c_2 \text{ y } n_0 \\ \text{tal que } 0 \leq c_1g(n) \leq f(n) \leq c_2g(n) \text{ para toda } n \geq n_0\}$$

210

└

Renderizado

212
211

213 El siguiente desarrollo fue tomado de “Grid straight-line embeddings of trees with a minimum
214 number of bends per path”[4]

215 El propósito final de este escrito es mostrar el algoritmo que, dado un árbol T , encuentra un en-
216 cajamiento en la malla que minimiza el número máximo de veces que cualquier camino en T , se
217 dobla. Hay bastante que desempacar de ese enunciado pero tener el propósito último resumido en
218 una oración nos será útil para mantenernos enfocados.

219 El primer concepto que abarcaremos es el *modelo local en línea recta* (2.21). Dentro de la definición
220 de modelo local en línea recta se incluye el de ordenamientos locales, este concepto está relacionado,
221 pero no es igual, al de *sistemas de rotación*, ya que este último codifica solamente el orden en el que las
222 aristas aparecen alrededor de un vértice v . Basado en el hecho de que un vértice puede tener distintos
223 ordenamientos locales para el mismo conjunto de aristas adyacentes, podemos observar que entonces
224 un mismo árbol puede tener distintos ordenamientos locales y, por tanto, múltiples *sl-modelos*, al
225 conjunto de todos los *sl-modelos* de un árbol T será denotado por $\mathcal{SM}(T)$. Dado que los *s-modelos*
226 son la representación gráfica de un árbol en el plano, cada uno tiene asociado un *sl-modelo* que es la
227 descripción de esa representación. Diremos que el *s-modelo* es la renderización del *sl-modelo*.

228 Denotaremos como V al conjunto de nodos y E al conjunto de aristas de un árbol T

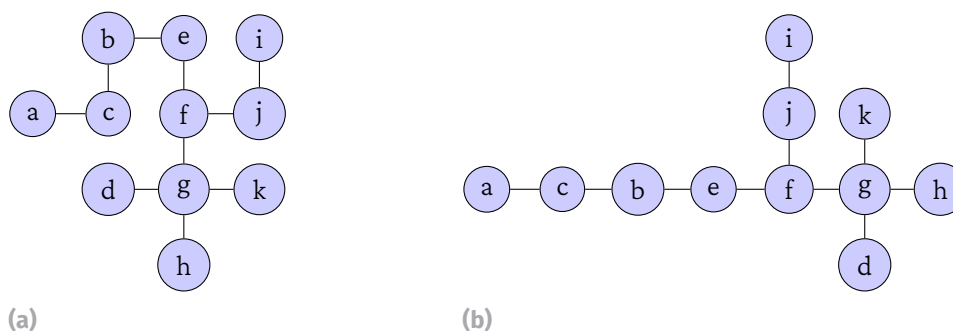


Figura 3.1 – Mismo árbol, diferentes dobleces.

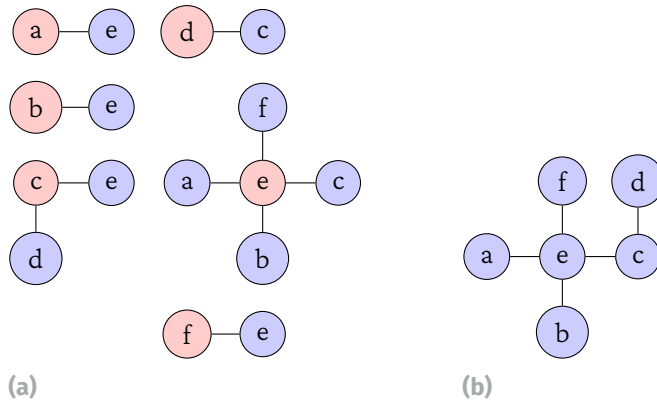
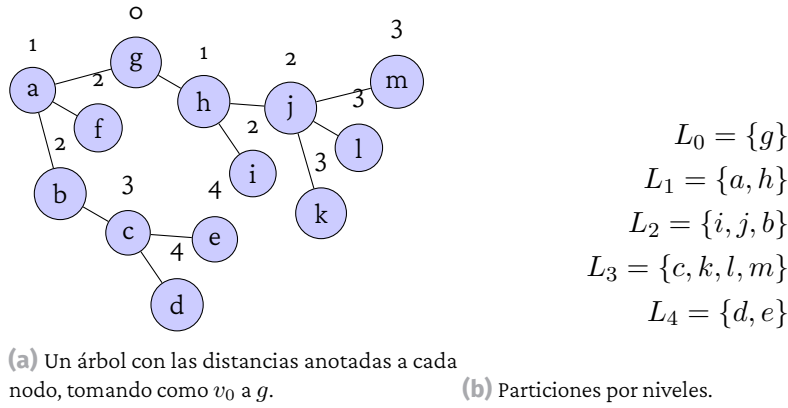


Figura 3.2 – (a) Un sl-modelo \mathcal{M} de seis árboles representando los órdenes locales alrededor de los vértices $\{a, b, c, d, e, f\}$. (b) Un renderizado de \mathcal{M} . Observemos que algunos de los árboles en (a) han sido rotado para alinearse de manera correcta en (b). En general no es cierto que todas las aristas en el renderizado de un sl-modelo necesiten ser de la misma longitud.



(a) Un árbol con las distancias anotadas a cada nodo, tomando como v_0 a g . **(b)** Particiones por niveles.

Figura 3.3

229 **Lema 3.1**

230 Para todo sl-modelo \mathcal{M} , existe un s-modelo que es una renderización de \mathcal{M} , además, dicho modelo
231 puede ser encontrado en tiempo $\mathcal{O}(n)$. \dashv

232 *Demostración.* Designamos un nodo arbitrario v_0 como raíz y particionamos V en niveles L_0, L_1, \dots, L_t ,
233 donde

$$L_i = \{v \in V \mid d(v_0, v) = i\}$$

234 es el conjunto de nodos a distancia i de la raíz v_0 en T . Estos niveles pueden ser encontrados en
235 tiempo lineal (utilizando un recorrido *BFS*, por ejemplo).

236 El s-modelo se construye en t pasos. En el paso i , con $1 \leq i \leq t$, dibujamos todas las aristas que
237 tienen uno de sus extremos en L_{i-1} y el otro en L_i como segmentos de longitud 2^{t-i} , con la única
238 condición de que los ordenamientos locales de \mathcal{M} que corresponden a los vértices en $L_i - 1$ sean

239 respetados, lo cual es posible dado que a lo más uno de los vecinos de cada uno de estos vértices ha
240 sido dibujado hasta ahora. □

241 Bibliografía

- 242 1. Cormen, T. H., Leiserson, C. E., Rivest, R. L., & Stein, C. (2001). *Introduction to Algorithms* (2nd).
243 The MIT Press.
- 244 2. de Luca, V. T. F., de Souza Oliveira, F., & Szwarcfiter, J. L. (2021). Minimum Number of Bends of
245 Paths of Trees in a Grid Embedding. *Procedia Computer Science*, 195, 118-126.
- 246 3. Levin, O. (2021). *Discrete Mathematics: An Open Introduction*.
- 247 4. Luca, V. T. F., Marín, N., Oliveira, F. S., Ramírez-Vigueras, A., Solé-Pi, O., Szwarcfiter, J. L., &
248 Urrutia, J. (2022). Grid straight-line embeddings of trees with a minimum number of bends per
249 path. *Inf. Process. Lett.*, 174(106210), 106210.
- 250 5. Pach, J. (2018). Geometric graph theory. En *Handbook of Discrete and Computational Geometry*,
251 *Third Edition* (Tercera edición). Chapman; Hall/CRC;CRC Press.
- 252 6. Tamassia, R. (1987). On embedding a graph in the grid with the minimum number of bends.
253 *SIAM j. comput.*, 16(3), 421-444.